



جداسازی و بررسی بیان ایزوفرم فتوستنتزی ژن فسفوانول پیروات کربوکسیلاز در گیاه شورزیست آلوروپوس لیتورالیس تحت تنش شوری

الهام یونسی ملردی^۱، قربانعلی نعمت زاده^۲ و احسان شکری^۳

۱- دانش آموخته کارشناسی ارشد، دانشگاه علوم کشاورزی و منابع طبیعی ساری

۲- استاد و محقق ارشد پژوهشکده ژنتیک و زیست فناوری کشاورزی تبرستان، دانشگاه علوم کشاورزی و منابع طبیعی ساری

۳- دکترای نانوبیوتکنولوژی، پژوهشکده ژنتیک و زیست فناوری کشاورزی تبرستان، دانشگاه علوم کشاورزی و منابع طبیعی ساری،

(نویسنده مسوول: e.shokri62@gmail.com)

تاریخ پذیرش: ۹۴/۱۱/۱۷

تاریخ دریافت: ۹۴/۵/۲۳

چکیده

با توجه به این که کشاورزی دنیا با دو معضل گرم شدن زمین و شوری خاک روبرو است، بررسی مولکولی گیاهان مقاوم به شوری و گرما کمک زیادی به درک مکانیسم مقاومت و انتقال آن به گیاهان زراعی می‌کند. آنزیم فسفوانول پیروات کربوکسیلاز (PEPC) واکنش برگشت ناپذیر فسفو انول پیروات را در حضور یون بی کربنات به منظور تولید اکزالو استات در گونه‌هایی کاتالیز می‌کند که در آنها کربو کسیلاسیون اولیه CO₂ مزوفیلی در طول فتوستنتز C₄ و متابولیسم اسید کراسولاسه انجام می‌شود. در پژوهش حاضر بخشی از توالی کد شونده (CDS) ژن *pepc* در گیاه شورزیست چمن شور ساحلی یا برت با نام علمی *آلوروپوس لیتورالیس* با طول ۶۷۸ جفت باز جداسازی و با شماره دسترسی (EC:4.1.1.31) KP122945 در بانک ژن NCBI ثبت شد، سپس الگوی تمایل کدونی و آنالیز کمی بیان آن در غلظت‌های شاهد (+) و ۶۰۰ میلی‌مولار نمک کلرید سدیم (NaCl) با استفاده از روش Real-time PCR مطالعه شد. نتایج نشان دادند که قطعه جداسازی شده بیشترین همولوژی در سطح پروتئین را با گونه‌های *Eragrostis minor* و *Zoysia japonica* دارد. همچنین شاخص تمایل کدنی (CAI) آن ۰/۸۲+ برآورد گردید. بررسی کمی بیان ژن تحت تنش ۶۰۰ میلی‌مولار نمک نشان داد که سطح رونوشت ژن *pepc* در پاسخ به شرایط تنش، حدود ۳ برابر (نسبت به شاهد) افزایش یافته است. بنابراین افزایش بیان ژن فتوستنتزی *pepc* به عنوان یکی از مکانیسم‌های ایجاد مقاومت به تنش شوری در گیاه *آلوروپوس لیتورالیس* پیشنهاد می‌شود.

واژه‌های کلیدی: آلوروپوس لیتورالیس، فسفوانول پیروات کربوکسیلاز، تنش شوری، بیان ژن، تمایل کدنی

مقدمه

یکی از مهم‌ترین چالش‌هایی که کشاورزی دنیا با آن روبرو است وجود و گسترش خاک‌های شور و شور شدن خاک‌های زراعی موجود می‌باشد (۳۰). علاوه بر این گرم شدن فزاینده کره زمین نیز از مشکلات عمده کشاورزی به شمار می‌رود. بررسی مولکولی گیاهان مقاوم به شوری و گرما کمک زیادی به درک مکانیسم مقاومت در این گیاهان می‌کند. بنابراین می‌توان از این مکانیسم‌ها برای انتقال به گیاهان زراعی و بهبود مقاومت در برابر تنش‌های زیستی استفاده نمود. گیاه چمن شور ساحلی یا *آلوروپوس لیتورالیس* یک هالوفیت چند ساله ریزوم‌دار تک‌په‌ای با سیستم فتوستنتزی C₄ و بومی ایران می‌باشد، که می‌تواند شوری (NaCl) را تا سطح بالاتر از ۶۰۰ میلی‌مولار تحمل کند (۲۲). علاوه بر شوری بودن، سیستم فتوستنتزی C₄ این گیاه نیز یکی از دلایل مقاومت بیشتر آن در برابر تنش‌های شوری و خشکی است. گیاهان دارای سه تیپ فتوستنتزی C₃، C₄ و CAM هستند به طوری که اکثر گیاهان و عمده گیاهان زراعی جزء گیاهان C₃ بوده و بخش کوچک‌تری به گیاهان C₄ تعلق دارند. فتوستنتز C₃ در شرایط دمایی بالا یک پروسه ناکارآمد است زیرا آنزیم روبیسکو که در قلب چرخه کالوین قرار داشته تثبیت CO₂ را انجام می‌دهد و در دمای بالا بسیار ناکارآمد خواهد شد (۱۹) اما در مقابل مهم‌ترین مزیت گیاهان C₄ این است که غلظت CO₂ را در سلول‌های کرانز تا حدی افزایش می‌دهند که از طریق یک مکانیسم کمکی (تبدیل

CO₂ به بی‌کربنات در سلول‌های مزوفیل به وسیله‌ی کربونیک‌آنهیدراز) مانع از اکسیژنه شدن آنزیم روبیسکو در مناطق گرم می‌شود (۳۲). بنابراین گیاهان C₄ با مصرف آب کمتر و عدم نیاز به باز و بسته شدن زیاد روزنه‌ها در شرایط کم آبی کارایی فتوستنتزی بسیار بالایی دارند (۳۲).

تثبیت اولیه CO₂ به وسیله‌ی آنزیم فسفوانول پیروات کربوکسیلاز (PEPC)^۱ (EC= 4.1.1.31) با استفاده از فسفوانول پیروات (PEP) به عنوان گیرنده‌ی CO₂ انجام می‌شود و در نتیجه یک ترکیب چهار کربنه به نام اکزالواستات تولید می‌شود که نام این مسیر متابولیکی بر همین اساس انتخاب شده است. PEPC یک آنزیم سیتوزولی است که در گیاهان آلی و همچنین در باکتری‌ها، سیانوباکتری‌ها و جلبک‌های سبز یافت می‌شود (۴،۱۵،۳۴). نقش اصلی و شناخته شده این آنزیم کربوکسیلاسیون اولیه CO₂ مزوفیلی در طول فتوستنتز C₄ و متابولیسم اسیدکراسولاسه است. همچنین این آنزیم در فرآیندهای غیرفتوستنتزی مانند تقسیم‌بندی کربن و نیتروژن در برگ‌های C₃ شکل‌گیری بذر، جوانه‌زنی و رسیدگی میوه فعال است (۱۵،۴).

مطالعات متعددی در خصوص مشارکت آنزیم PEPC در پاسخ به انواع شرایط تنشی و ایجاد سازگاری در گیاهان انجام شده است (۶،۱۲،۳۵). دونووا و ریسلوا (۱۱،۲۰) گزارش کردند که فعالیت آنزیم‌های PEPC، PPK و NADP-ME در گیاهان تحت تنش‌های مختلف غیرزیستی نظیر خشکی، شوری، اوزون، عدم وجود فسفات و آهن و یا حضور فلزات

1- Phosphoenolpyruvate carboxylase

آبیاری شدند. پس از ۱۰ روز بعد از اعمال تنش نمونه‌گیری از برگ‌های بالغ و میانی گیاهان انجام شد.

استخراج RNA با کمک معرف ترایزول انجام شد (۲۹). پس حذف آلودگی احتمالی DNA از RNA استخراج شده با استفاده از دستورالعمل تیمار با آنزیم DNAase I شرکت فرمنتاز، RNA استخراج شده با کمک آنزیم Reverse transcriptase (EP0441) به cDNA تبدیل گردید.

طراحی آغازگرها

از آن جایی که جداسازی توالی کد شونده ژن اخیر در آلوروپوس لیتورالیس برای اولین بار انجام می‌شد، اطلاعات و توالی ژنی این جایگاه در بانک ژن موجود نبود. بنابراین پس از شناسایی ایزوفرم فتوستتزی ژن مورد نظر در بانک ژن، توالی‌های CDS^۱ آن در گونه‌های با قرابت نزدیک مانند *Hordeum Zea mays*, *Sorghum bicolor*, *Saccharum officinarum*, *Oryza sativa vulgare* انتخاب شده و پس از هم‌ردیفی با استفاده از نرم‌افزار BioEdit (۱۳) و بر اساس نواحی حفظ شده بین گونه‌ای، آغازگرهای مناسب با استفاده از نرم‌افزار Oligo5 طراحی شدند (جدول ۱). برای بررسی بیان ژن (Real time PCR) پس از تایید صحت توالی جداسازی شده توسط بلاست، آغازگرهای داخلی با طول و شرایط مناسب طراحی شدند. طول قطعه تکثیر ۹۰ جفت باز در نظر گرفته شد. در پژوهش حاضر بیان نسبی ژن *pepc* در مقایسه با ژن بتا اکتین به عنوان کنترل داخلی اندازه‌گیری شد. بتا اکتین یکی از پرکاربردترین ژن‌های مرجع در مطالعات بیان ژن می‌باشد. تیان و همکاران (۴۱) نشان دادند که ژن‌های *ACTIN* و *TUB* پایدارترین ژن‌ها در تنش‌های مختلف گرمایی، سرمایی، شوری و خشکی هستند.

جداسازی، توالی‌یابی و آنالیز بیوانفورماتیکی بخشی از ناحیه رمز کننده ژن *pepc*

به منظور تکثیر توالی ژن مورد نظر، از cDNA سنتز شده و آغازگرهای رفت و برگشت (ISO) در واکنش PCR استفاده شد. چرخه‌های حرارتی PCR شامل واسرشته‌سازی آغازین: ۹۵ درجه (۳ دقیقه)، ۳۵ چرخه شامل: ۹۴ درجه (۴۵ ثانیه)، دمای اتصال آغازگر (۴۵ ثانیه)، ۷۲ درجه (۱ دقیقه) و بسط نهایی در ۷۲ درجه (۷ دقیقه) اعمال گردید. پس از حصول اطمینان از تکثیر قطعه مورد نظر، حدود ۱۲۰ میکرولیتر از محصول PCR روی ژل آگارز ۲/۵ درصد و با بافر TAE الکتروفورز گردید قطعه مورد نظر از روی ژل بریده و پس از خلص‌سازی طبق دستورالعمل کیت High pure pcr product- Roche، تیوپ حاوی قطعات باندهای توالی مورد نظر برای توالی‌یابی دو طرفه با آغازگرهای رفت و برگشت ارسال گردید.

سنگین در خاک و تنش‌های زیستی نظیر ویروس‌ها افزایش می‌یابد. آنها پیشنهاد کردند که نقش این آنزیم‌ها در شرایط تنش مهم‌تر از نقش آنها در شرایط طبیعی است. سانچز و همکاران (۳۴) بیان ایزوفرم‌های مختلف ژن *pepc* را در گیاه آرابیدوپسیس *تالیانا* تحت تنش‌های شوری و خشکی بررسی کردند. نتایج نشان داد که ایزوفرم‌های PEPC بیان افتراقی را در ارگان‌های مختلف آرابیدوپسیس در پاسخ به تنش‌های شوری و خشکی نشان می‌دهند. در این میان ایزوفرم PEPC4 بیشترین بیان را تحت تحریک شوری و خشکی نشان داد. نتایج به دست آمده نشان داد که PEPC بخشی از سازگاری گیاه در مقابل تنش‌های خشکی و شوری را تشکیل می‌دهد. انتقال ژن بصورت همو یا هترولوگ و بیش‌بیانی آنزیم PEPC در گیاهان مختلف مثل ذرت و برنج نیز نشان می‌دهد افزایش بیان این ژن باعث بهبود راندمان مصرف آب و افزایش نرخ فتوستتزی در شرایط تنش‌های شوری، خشکی و دمای زیاد می‌گردد (۲). اگرچه مطالعات زیادی به اهمیت عملکرد آنزیم PEPC در شرایط تنشی اشاره کرده‌اند، با این وجود هنوز برای تعیین دقیق مکانیسم مولکولی ایجاد مقاومت به انواع تنش‌ها- بویژه شوری و خشکی- به مطالعات جامع‌تری نیاز هست.

از جمله راهبردهای تعریف شده در مسیر انقلاب سبز، شناسایی ویژگی‌های مثبت گیاهان هالوفیت نسبت به گلیکوفیت‌ها و انتقال ویژگی‌های مثبت گیاهان C₄ به گیاهان C₃ می‌باشد. به همین منظور استفاده از گیاه آلوروپوس لیتورالیس^۱ به عنوان یک مدل برای مطالعات مولکولی و شناسایی مکانیسم‌ها و ژن‌های درگیر در ایجاد مقاومت این گیاه در مقابل تنش شوری، در این مسیر کمک شایان توجهی خواهد نمود. بنابراین هدف از پژوهش حاضر جداسازی توالی کد شونده ژن فتوستتزی *pepc*، مطالعه الگوی تمایل کدنی و بررسی تغییرات کمی بیان رونوشت‌های این ژن تحت تنش شوری در گیاه آلوروپوس لیتورالیس با کمک روش Real-Time PCR بوده است.

مواد و روش‌ها

تهیه نمونه‌های گیاهی و سنتز cDNA

بذور گیاه آلوروپوس لیتورالیس در ماسه کشت و با محلول مغذی هوگلند (۱۰) (۱۰۰ درصد که حاوی عناصر ماکرو و میکرو می‌باشد، آبیاری شد. بررسی اثر تنش شوری در پژوهش حاضر در دو سطح شامل بدون نمک (شاهد) و ۶۰۰ میلی‌مولار نمک کلرید سدیم با در نظر گرفتن سه تکرار بیولوژیک انجام شد. جهت آماده کردن گیاهان برای پذیرش شوری، گیاهان در چهار نوبت با افزایش میزان نمک به میزان ۱۵۰ میلی‌مولار در هر نوبت با فاصله زمانی یک روز در میان

جدول ۱- توالی آغازگرهای استفاده شده برای جداسازی و بررسی بیان ژن *pepc* در گیاه آلورپوس لیتورالیس
Table 1. Sequence of primers used for isolation and *pepc* gene expression assay in *Aeluropus littoralis* plant

نوع آغازگر	ژن	توالی (۵'.....۳')	طول قطعه (bp)	دمای اتصال
ایزولاسیون (ISO)	<i>pepc</i>	F-CTTCGGCCSTACATCATCTC R-GACY CTGAAGAAK GGCCACTC	۸۹۷	۶۶
بیان ژن (GE)	<i>pepc</i>	F- GTCCGAGTACCCGACCATG R- GTGGTGCCGCTGTTTCGAGA	۹۰	۵۹
رفرنس (RE)	β -actin	F- GTCCGAGTACCCGACCATG R- GTGGTGCCGCTGTTTCGAGA	۹۰	۵۹

*: حرف Y نشان دهنده ی باز های T یا C است.
** حرف K نشان دهنده ی باز های T یا G است.

کنترل داخلی استفاده شد. همچنین برای افزایش دقت آزمایش سه تکرار بیولوژیک و دو تکرار تکنیکی (Technical) برای هر تیمار آزمایشی مد نظر قرار گرفت. در کنار تکثیر نمونه‌های اصلی چاهک‌هایی به نمونه‌های کنترل منفی (NTC) و کنترل مثبت اختصاص داده شد. چرخه‌های حرارتی PCR شامل واسرشته‌سازی آغازین ۹۵ درجه (۱۵ دقیقه)، ۴۰ چرخه شامل ۹۵ درجه (۱۵ ثانیه)، دمای اتصال آغازگر ۵۹ درجه (۳۰ ثانیه)، ۷۲ درجه (۳۰ ثانیه) و بسط نهایی در ۶۰ درجه (۵ ثانیه) اعمال گردید. در نهایت، از روش تصحیح کارایی طبق فرمول (۱) زیر برای تعیین بیان ژن *pepc* استفاده شد (۲۸):

$$\text{Ratio} = \frac{(E_{\text{target}})^{\Delta \text{CP}}_{\text{target}}(\text{control-sample})}{(E_{\text{ref}})^{\Delta \text{CP}}_{\text{ref}}(\text{control-sample})} \quad (1)$$

نتایج و بحث

توالی‌یابی و تجزیه و تحلیل بخشی از ناحیه رمز کننده ژن *pepc*

پس از استخراج RNA و سنتز cDNA، قطعه مورد نظر با استفاده از آغازگرهای (ISO) تکثیر شد. الکتروفورز محصول PCR وجود یک باند با اندازه تقریبی ۸۹۷ جفت باز را مربوط به ژن *pepc* در آلورپوس لیتورالیس نشان داد. نتایج تجزیه و تحلیل بلاست نوکلئوتیدی و پروتئینی، صحت قطعه جداسازی شده را تایید نمود (جدول ۳ و ۲). همچنین این نتایج نشان داد که در سطح نوکلئوتیدی توالی بدست آمده از آلورپوس لیتورالیس به ترتیب ۹۶٪ و ۹۳٪ درصد همسانی *pepc* گونه‌های *Eragrostis minor* و *Chloris gayana* و در سطح پروتئینی به ترتیب ۹۹٪ و ۹۷٪ با گونه‌های *minor* *Eragrostis* و *Zoysia japonica* دارد.

بعد از توالی‌یابی، بررسی‌های بیوانفورماتیک از جمله آنالیز بلاست نوکلئوتیدی و پروتئینی برای تایید توالی جداسازی شده و همچنین مقایسه همولوژی آن با قطعات ژنی سایر گونه‌ها انجام گردید. همچنین توالی شناسایی شده ژن *pepc* پس از تعیین ORF، برای محاسبه شاخص تمایل کدونی و مقایسه آن با شاخص تمایل کدونی سایر گونه‌ها، آنالیز گردید. بدین منظور پس از هم‌ردیفی توالی شناسایی شده با برخی از گونه‌های گلیکوفیت C_3 و C_4 ، نواحی همپوشان از هر گونه انتخاب گردید و سپس با استفاده از ابزار CAIcalculator شاخص تمایل کدونی قطعه جداسازی شده و توالی‌های متناظر با آن که از بانک ژن استخراج شده بودند محاسبه گردید. در این پژوهش با کمک رسم درخت فیلوژنتیک رابطه خویشاوندی توالی رمزکننده *pepc* آلورپوس لیتورالیس با تعدادی از گیاهان C_3 و C_4 مورد ارزیابی قرار گرفت. برای رسم درخت فیلوژنتیک ابتدا توالی‌ها به وسیله برنامه clustalw نرم‌افزار Mega4 هم‌ردیف شدند و سپس درخت فیلوژنتیک برای آن‌ها با روش اتصال مجاور (Neighborjoining) ترسیم شد. به منظور تایید اعتبار درخت فیلوژنتیک ترسیم شده از الگوریتم Boosstrap ۱۰۰۰ تکرار استفاده شد (۳۹).

آنالیز کمی بیان ژن، Quantitative RT-PCR

به منظور آنالیز کمی بیان ژن، غلظت یکسانی از RNA برای سنتز cDNA در هر تکرار مورد استفاده قرار گرفت. بعد از سنتز cDNA برای حصول اطمینان از صحت توالی و دمای اتصال آغازگرهای طراحی شده و تعیین دقیق شرایط تکثیر بهینه، واکنش زنجیره‌ای پلیمرز با استفاده از دستگاه PCR معمولی انجام شد. برای انجام مراحل Real time PCR از مخلوط واکنش SYBERGreen 1 شرکت فرمتاز در حجم ۱۵ میکرولیتر و در حضور ژن β -actinmRNA به عنوان

جدول ۲- نتایج بلاست توالی نوکلئوتیدی قطعه‌ی ژنی *pepc*

شماره دسترسی	نام گونه	میزان پوشش	ارزش E	درصد همسانی
AM690222.1	<i>Eragrostis minor</i>	٪۱۰۰	0	٪۹۶
AF268091.1	<i>Chloris gayana</i>	٪۱۰۰	0	٪۹۳
NM_001161348.1	<i>Zea mays</i>	٪۹۹	0	٪۸۸
AF271995.۱	<i>Oryza sativa Japonica</i>	٪۹۹	1.00E-111	٪۷۳
AY210895.1	<i>Arabidopsis thaliana</i>	٪۹۹	1.00E-99	٪۷۲
NM_001250465.1	<i>Glycine max</i>	٪۹۹	6.00E-71	٪۶۹

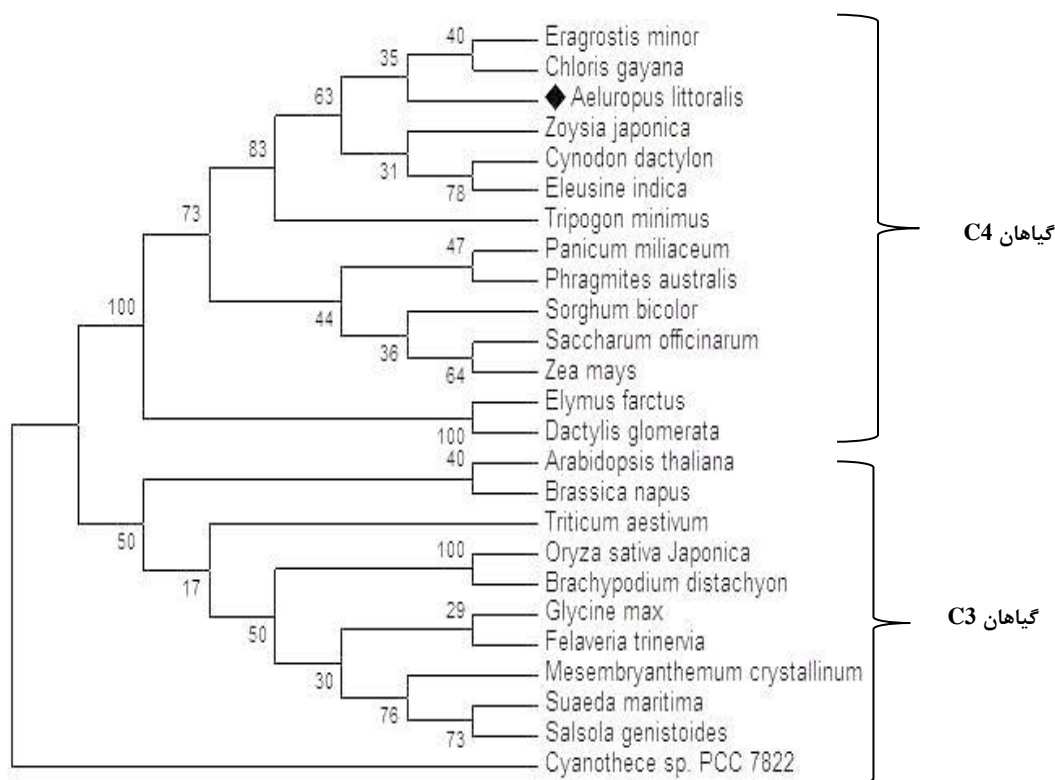
Table 2. Blast results of nucleotide sequence of *pepc* gene fragment

جدول ۳- نتایج بلاست توالی پروتئینی قطعه‌ی ژنی *pepc*

شماره دسترسی	نام گونه	میزان پوشش	ارزش E	درصدهمسانی
CAM84059.1	<i>Eragrostis minor</i>	%۱۰۰	4.00E-164	%۹۹
CAM84149.1	<i>Zoysia japonica</i>	%۱۰۰	9.00E-161	%۹۷
CAD60555.1	<i>Zea mays</i>	%۱۰۰	4.00E-133	%۸۸
P15804.2	<i>Sorghum bicolor</i>	%۱۰۰	5.00E-134	%۸۹
AAG00180.1	<i>Oryza sativa Japonica</i>	%۱۰۰	3.00E-128	%۸۳
NP_001237394.1	<i>Glycine max</i>	%۹۹	1.00E-126	%۸۲
NP_175738.1	<i>Arabidopsis thaliana</i>	%۹۹	7.00E-126	%۸۲

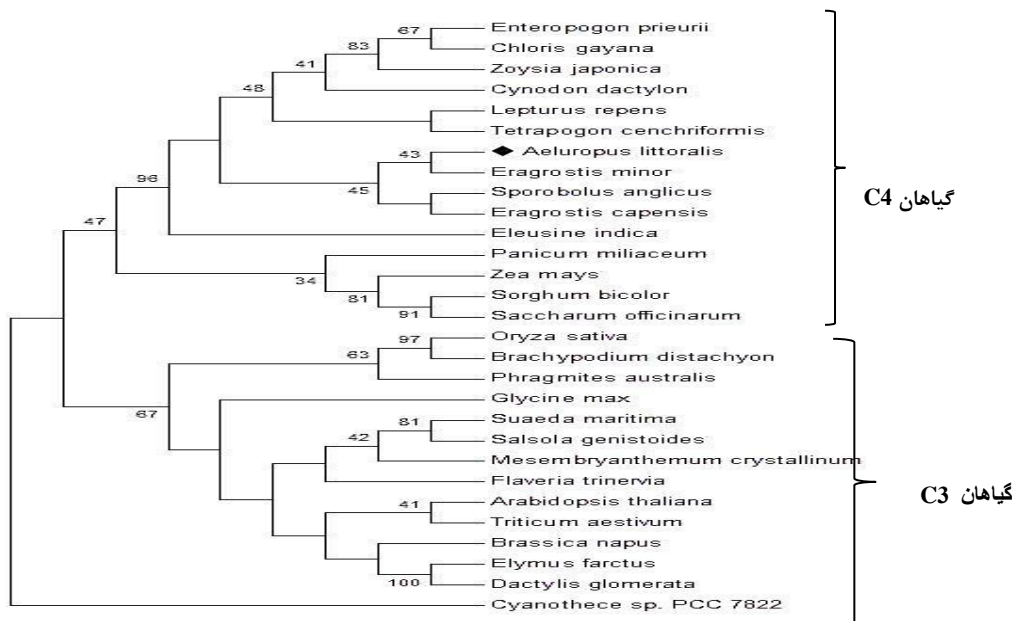
پس از تجزیه و تحلیل تمایل کدونی با استفاده از ابزار CAIcalculator (۲۹) میزان GC توالی جداسازی شده ۶۴/۶ درصد، در نوکلئوتید سوم کدون‌های توالی ۸۹ درصد و شاخص تمایل کدونی نیز برابر ۰/۸۲ بدست آمد (جدول ۴). همچنین شاخص تمایل کدونی و در صد GC در برخی از گونه‌های گلکوفیت C_3 ، C_4 محاسبه و با شاخص تمایل کدونی *pepc* آلوروپوس لیتورالیس مقایسه گردید. میانگین شاخص تمایل کدونی در گلکوفیت‌های C_4 ۰/۸۸ و در گلکوفیت‌های C_3 ۰/۷۴ بدست آمد (جدول ۴).

به منظور تعیین روابط خویشاوندی این قطعه ژنی، درخت فیلوژنی، براساس توالی پروتئینی و نوکلئوتیدی بدست آمده و در مقایسه با برخی گونه‌های گیاهی دیگر موجود در پایگاه داده‌ها ترسیم شد. نتایج گروه بندی براساس توالی نوکلئوتیدی و پروتئینی به ترتیب در شکل ۱ و شکل ۲ نشان داد که، توالی رمزکننده *pepc* آلوروپوس لیتورالیس قرابت نزدیکی با *pepc* دو گونه *Eragrostis minor* و *Chloris gayana* دارد و در سطح پروتئینی PEPC آلوروپوس لیتورالیس قرابت نزدیکی با توالی پروتئینی گونه‌های *Sporobolus anglicus*، *Eragrostis minor*، *Eragrostis capensis* نشان داد.



شکل ۱- مقایسه قرابت توالی نوکلئوتیدی *pepc* آلوروپوس لیتورالیس و سایر گونه‌ها. درخت فیلوژنتیکی با استفاده از نرم‌افزار MEGA4 و روش اتصال مجاور (neighborjoining) ترسیم شد. و پارامتر تکرار در ترسیم ۱۰۰۰ در نظر گرفته شد.

Figure 1. Comparison of *pepc* gene nucleotide sequences relationship with other species. Phylogenetic tree generated using MEGA4 software and neighborjoining method. The bootstrap value was considered as 1000.



شکل ۲- مقایسه قرابت توالی پروتئینی PEPc آلورپوس لیتورالیس و سایر گونه‌ها. درخت فیلوژنتیکی با استفاده از نرم‌افزار MEGA4 و روش اتصال مجاور (neighborjoining) ترسیم شد. و پارامتر تکرار در ترسیم ۱۰۰۰ در نظر گرفته شد.

Figure 2. Comparison of PEPc protein sequences relationship with other species. Phylogenetic tree generated using MEGA4 software and neighborjoining method. The bootstrap value was considered as 1000.

جدول ۴- مقایسه ی نتایج تجزیه و تحلیل تمایل کدنی قطعه جداسازی شده با برخی از گیاهان

Table 4. Comparison of results of codon bias analysis isolated fragment with other species

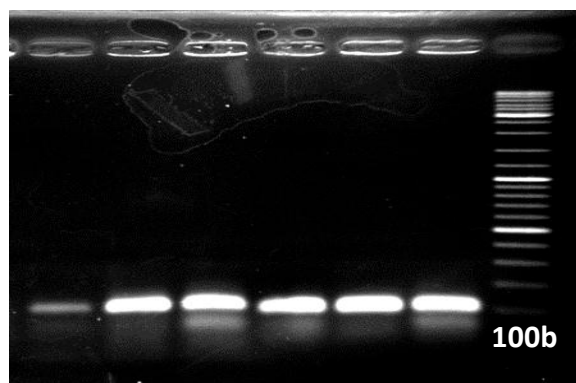
Species name	GC ^۱ %	GC1 ^۲ %	GC2 ^۳ %	GC3 ^۴ %	CAI ^۵
<i>Aeluropus littoralis</i>	۶۴/۶	۶۱/۵	۴۵/۹	۸۹	۰/۸۲۲
<i>Sorghum bicolor</i>	۶۴/۵	۶۰/۵	۴۲/۸	۹۳/۵	۰/۸۹۵
<i>Saccharum officinarum</i>	۶۴/۶	۶۱/۴	۴۲/۸	۹۳	۰/۸۶۷
<i>Zea mays</i>	۶۴/۴	۶۳	۴۵/۸	۹۴	۰/۸۷۸
C4 (mean)	۶۵/۱۶	۶۱/۶۳	۴۳/۸	۹۳/۵	۰/۸۸
<i>Oryza sativa</i>	۵۴/۶	۷۲/۰	۵۱/۶	۹۳/۸	۰/۷
<i>Arabidopsis</i>	۴۸/۶	۵۹/۳	۴۲/۶	۴۴/۴	۰/۷۴
<i>Glycine max</i>	۴۶	۶۱/۶	۴۴/۴	۳۱/۹	۰/۷۸۵
C3 (mean)	۴۹/۷۳	۶۴/۳	۴۶/۲	۳۸/۷	۰/۷۴۱

۱: درصد GC کل، ۲: درصد GC در نوکلئوتید اول کدون، ۳: درصد GC در نوکلئوتید دوم کدون، ۴: درصد GC در نوکلئوتید سوم کدون، ۵: شاخص تمایل کدونی

PCR اختصاصی بودن محصولات تکثیر یافته با آنالیز منحنی ذوب بررسی شد. پیک (peak) اختصاصی محصول برای ژن *pepc* در دمای ۸۴ درجه سانتی گراد و ژن کنترل داخلی بتا اکتین در دمای ۸۱ درجه سانتی گراد نشان داده شده است (شکل ۴) نتایج حاصل عدم حضور پرایمر دایمر و تکثیر اختصاصی را تایید کرد.

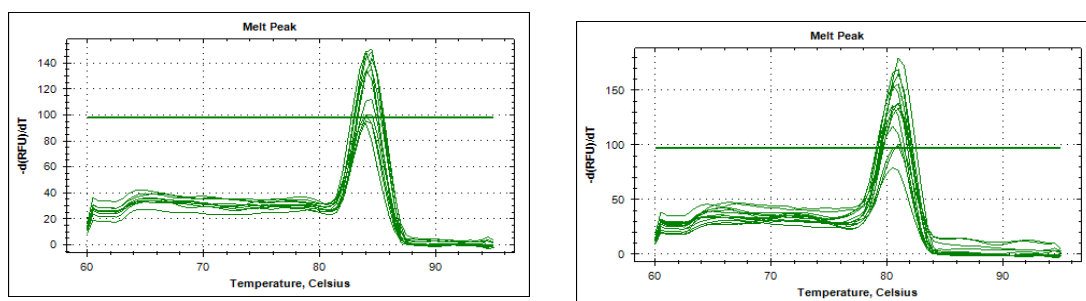
نتایج بررسی تغییر بیان ژن *pepc* تحت تنش شوری در گیاه آلورپوس لیتورالیس

به منظور تعیین شرایط بهینه تکثیر، تایید صحت عملکرد آغازگرهای (GE, RE) و بررسی کیفیت cDNA تهیه شده از واکنش PCR معمولی استفاده شد. به دست آمدن تک باند با اندازه ۹۰ جفت باز، صحت تکثیر ژن مورد بررسی را تایید نمود (شکل ۳). در انتهای چرخه‌های تکثیر Real time



شکل ۳- نمونه‌هایی از محصول PCR برای تایید صحت عملکرد آغازگرهای RE, GE. طول قطعه تکثیر شده ۹۰ جفت باز است. (نشانگر وزن مولکولی #SM1153).

Figure 3. Samples of PCR products for performance confirmation of RE & GE primers. Length of amplified fragments is 90 bp. molecular weight marker #SM0311 (Fermentas).



شکل ۴- آنالیز منحنی ذوب. در این منحنی اختصاصی بودن محصولات واکنش Real time PCR بررسی شد. دمای ذوب محصولات واکنش ژن *pepc* (چپ) و بتا اکتین (راست) به ترتیب ۸۴ و ۸۱ درجه سانتی گراد است.

Figure 4. Melting curve analysis. The specificity of Real-time PCR products were confirmed by this curve. melting temperature of *pepc* (top figure) and beta actin (down figure) gene products were 84 and 81 °C, respectively.

در نهایت بررسی میزان تغییر در بیان ژن تحت تیمار با شوری نشان داد که اعمال تنش (غلظت نمک ۶۰۰ میلی‌مولار)، باعث افزایش بیان ژن *pepc* به میزان ۲/۷۶ برابر در برگ‌های گیاه نسبت به شاهد افزایش نشان داد. در این پژوهش بخشی از توالی رمزکننده ژن *pepc* برای اولین بار از گیاه آلوروپوس لیتورالیس جداسازی شده و پس از بررسی بیوانفورماتیک، میزان بیان رونوشت‌های آن تحت تیمار شوری مورد بررسی قرار گرفت. آنالیزهای فیلوژنتیکی تخمینی از چگونگی اشتقاق اعضای یک خانواده در طی تکامل هستند. این روابط به وسیله مطالعه جهش‌های جایگزینی، حذف، ازدیاد و جهش با آرایش مجدد تعیین می‌شود که در معرض انتخاب طبیعی می باشد (۱۱). در پژوهش حاضر به طور کلی درخت فیلوژنتیکی در سطح پروتئینی و نوکلئوتیدی نمونه‌های مورد نظر را به دو گروه عمده تقسیم کرد (شکل‌های ۱ و ۲): گروه اول عمدتاً گیاهان *C3* مانند *Oryza sativa*, *Triticum aestivum* و در گروه دوم عمدتاً گیاهان *C4* مانند *Sorghum*, *Zea mays*, *bicola* قرار گرفتند، به طوری که *pepc* آلوروپوس لیتورالیس نیز در این دسته قرار گرفت. در هردو گروه *C4* و *C3* گیاهان هالوفیت دیده می‌شوند مثلاً گیاه *C3* و هالوفیت

وجود کدون‌های مترادف، روش کنترلی ژنوم برای تخفیف و خنثی کردن اثرات جهش‌های نقطه‌ای و تنظیم بیان ژن می‌باشد. کدون‌های مترادف در ژنوم گونه‌های مختلف و هم در بین ژن‌های ژنوم یک موجود با فراوانی متفاوتی استفاده می‌شوند، که به این پدیده تمایل کدونی اطلاق می‌شود. نتایج تجزیه و تحلیل تمایل کدنی قطعه‌ی ژنی *pepc* با استفاده از ابزار CAIcalculator، در جدول ۴ نشان داده شده

گیاهان تحت تیمار آبسیزیک اسید فعالیت آنزیم PEPC افزایش می‌یابد که احتمالاً این افزایش در اثر افزایش کمیت پروتئین ایجاد شده است. بنابراین می‌توان پیش‌بینی کرد که یکی از عوامل افزایش رونوشت در ژن مورد مطالعه افزایش هورمون اسید آبسیزیک می‌باشد.

PEPC در گیاهان C4 توسط یک فرایند فسفریلاسیون تنظیمی وابسته به نور تنظیم می‌شود (۴۳، ۸، ۴). که فسفریلاسیون توسط آنزیم فسفو انول پیروات کربوکسیلاز کیناز (PEPck) منجر به فعال شدن آنزیم و دفسفریلاسیون توسط آنزیم فسفریلاز باعث غیر فعال شدن آنزیم می‌شود (۵، ۱۷). افزایش بسیار زیادی در فعالیت آنزیم PEPck در برگ‌های سورگوم تیمار شده با نمک مشاهده شده است (۹). همچنین یافته‌های پیشین نشان دادند که تنش شوری فعالیت آنزیم PEPC را در *Sorghum bicolor* و *Hurdeum vulgaris* افزایش می‌دهد (۱، ۳۶) لی و چولت (۲۰) نشان دادند که نمک در گیاه *Mesembryanthemum crystallinum* منجر به افزایش فعالیت هر دو آنزیم PEPC و PEPck می‌شود.

با توجه نتایج گزارش شده می‌توان بیان داشت که افزایش فعالیت آنزیم PEPck در اثر نمک باعث افزایش فسفریله شدن و در نتیجه افزایش فعالیت آنزیم PEPC می‌شود و لازمه‌ی این افزایش فعالیت، افزایش کمیت پروتئین و در نتیجه افزایش بیان ژن است. البته مکانسیم پیام رسانی این اتفاق نیاز به بررسی بیشتر دارد. از طرف دیگر در سطح مولکولی، تنظیم فرا دستی به وسیله فاکتورهای رونویسی می‌تواند باعث افزایش بیان این ژن تحت تحریک شوری شود. گزارش شده است که در ذرت بخشی از بیان ژن‌های فتوسنتزی (از جمله *pepc*) به وسیله دو فاکتور *DOF1* و *DOF2* کنترل می‌شود. مطالعات بیان ژن نشان داد که *DOF1* یک فعال کننده و *DOF2* یک مهارکننده بیان است (۴۱). همچنین مشخص شد که *DOF1* از طریق کنش متقابل با پروموتور ژن *pepc* و افزایش فعالیت آن بیان ژن *pepc* نوع C4 را در ذرت افزایش می‌دهد. شیفر و همکاران (۳۷) رونویسی افزایش یافته ژن کدکننده ایزوفرم ویژه CAM آنزیم PEPC را تحت تنش شوری گزارش کرده و پیشنهاد کردند که تنظیم فرادستی این ژن تحت تنش شوری احتمالاً به وسیله فاکتورهای رونویسی نوع MYB میانجی‌گری می‌شود.

از طرف دیگر آنزیم PEPC در چرخه فتوسنتزی شرکت دارد که محصول نهایی این چرخه گلوگزای است که طی گلیکولیز و چرخه کربس به انرژی تبدیل می‌شود. فروکتوز ۱،۶ بی فسفات و استیل کوآنزیم-A که در مراحل اولیه‌ی و انتهای گلیکولیز تولید می‌شوند فعال کننده‌های الوستریک آنزیم PEPC هستند (۱۷، ۲۳). پیش‌بینی می‌شود در شرایط تنش، گیاه به انرژی بیشتر نیاز دارد و در نتیجه فرایند گلیکولیز و تولید فروکتوز ۱،۶ بی فسفات و استیل کوآنزیم A به عنوان فعال کننده‌های الوستریک آنزیم با سرعت بیشتری انجام می‌شود. در نهایت این فعال کننده‌ها الوستریک با افزایش فعالیت آنزیم باعث افزایش جذب CO₂ و افزایش

است. نتایج نشان دادند که تمایل کدونی در ژن‌های با سطح بیان بالا شدیدتر است و در این ژن‌ها برخی کدون‌ها نسبت به کدون‌های دیگر ترجیح داده می‌شوند (۱۴). این مقدار می‌تواند نشان‌دهنده سطح بالای بیان این ژن و نیاز استفاده از کدون‌های بهینه در آن باشد.

همچنین میانگین شاخص تمایل کدونی و درصد GC در برخی از گونه‌های گلکوفیت C₃ و C₄ محاسبه و با شاخص تمایل کدونی *pepc* آلورپوس لیتورالیس مقایسه گردید (جدول ۴). میانگین درصد GC و شاخص تمایل کدونی در گونه‌های گلکوفیت C₃ و C₄ به ترتیب ۶۵/۱۶، ۶۸/۰ و ۴۹/۷۳ و ۰/۷۴ به دست آمد که نشان‌دهنده‌ی آن است که شاخص تمایل کدونی ژن *pepc* آلورپوس لیتورالیس به گیاهان C₄ نزدیک‌تر است. علاوه بر این، مشاهده شد که در گونه‌های مورد بررسی با افزایش درصد GC شاخص تمایل کدونی افزایش یافته است که با نتایج پالیدور و همکاران (۲۶) مطابقت داشت. با توجه به این نتایج می‌توان اظهار داشت که *pepc* در گیاهان C₄ و آلورپوس لیتورالیس و C₃ از جمله ژن‌های پر بیان محسوب می‌شود. اما پیش‌بینی سطح بالای بیان ایزوفرم کلروپلاستی PEPC در گونه‌های C₃ مورد انتظار نمی‌باشد که می‌توان دلیل آن را کوتاه بودن قطعه مورد بررسی دانست و پیشنهاد می‌شود که این مقایسه با استفاده از توالی‌های بلندتر انجام شود.

بر اساس نتایج بررسی بیان ژن *pepc* افزایش بیان در سطح رونوشت در تیمار ۶۰۰ میلی‌مولار نسبت به شاهد مشاهده گردید. اولین مرحله در پاسخ به نمک نتیجه تاثیر نمک در خارج از گیاه (تنش اسمزی) است. فرآیندهای مولکولی و متابولیکی درگیر در این مرحله در تنش خشکی نیز انجام می‌گیرد (۲۱). در نتیجه می‌توان گفت تنش خشکی اولین پاسخ گیاه به تنش شوری است که در اثر برهم خوردن تعادل اسمزی بین خاک و گیاه ایجاد می‌شود. اعتقاد بر این است که تنش خشکی باعث افزایش میزان ABA گیاه می‌شود. در این ارتباط شواهدی وجود دارد که تأیید می‌نماید غلظت بالای نمک منجر به افزایش هورمون‌های گیاهی مثل آبسیزیک‌اسید می‌شود (۹، ۲۵). افزایش غلظت ABA بافت برگ، هدر رفت آب به وسیله تعرق را از طریق بستن روزنه‌ها کم می‌کند (۳۸، ۴۲) احتمالاً به علت تنش خشکی تحمیل شده به گیاه، و بسته شدن روزنه به علت افزایش ABA میزان CO₂ ورودی در برگ نیز کم می‌شود، در حالیکه بسته شدن روزنه‌ها تاثیر ناچیزی در میزان O₂ درونی دارد لذا افزایش نسبی غلظت O₂ به CO₂ باعث تحریک فعالیت اکسیژنازی روبیسکو و هدر رفت بخشی از انرژی و کربن می‌شود. گیاه با افزایش بیان ژن *pepc* در شرایط تنش سعی می‌کند تا از مقدار کم CO₂ موجود استفاده بهینه کند و فعالیت کربوکسیلازی روبیسکو را حفظ کند (۵). شاهین و همکاران گزارش کردند که در پاسخ گیاه آلورپوس لیتورالیس به تنش شوری الگوهای بیانی متفاوت مشاهده می‌شود که می‌توان آنرا به شش گروه مجزای افزایش بیان، کاهش بیان، خاموش شدن، روشن شدن، ثابت بیان و ناپایداری بیان تقسیم کرد (۳۳). نتایج مطالعه چو و همکاران (۵) نشان داد که در

رهیافت‌های مهندسی ژنتیک برای انتقال ویژگی‌های مثبت این گیاه به برخی از گیاهان استراتژیک مثل برنج، ذرت و گندم استفاده کرد.

تشکر و قدردانی

این پژوهش با حمایت‌های مالی و آزمایشگاهی پژوهشکده ژنتیک و زیست‌فناوری کشاورزی تبرستان به انجام رسید.

سرعت فرآیند فتوسنتزی می‌شوند و این افزایش فعالیت با افزایش کمیت پروتئین و افزایش بیان همراه خواهد بود.

بنابراین پیشنهاد می‌شود که برای بررسی بیشتر اساس مولکولی تنظیم بیان این ژن تحت تنش شوری، نواحی تنظیمی آن در مورد کنش‌های سیس-ترانس و نقش عناصر تنظیمی مورد مطالعه قرار گیرد. مکانیزم‌های تنظیم‌کننده بیان ژن در سطح پروتئین نیاز بررسی بیشتر دارد. در نهایت می‌توان از اطلاعات فراهم شده درباره مکانیسم‌های مولکولی مقاومت در برابر تنش شوری در گیاه آلوروپوس لیئورالیس در

منابع

1. Amzallag, G.N., H.R. Lerner and A. Poljakoff-Mayber. 1990. Exogenous ABA as a modulator of the response of sorghum to high salinity. *Journal of Experimental Botany*, 41: 1529-1534
2. Bandyopadhyay, A., K. Datta, J. Zhang, W. Yang, S. Raychaudhuri, M. Miyao and S.K. Datta. 2007. Enhanced photosynthesis rate in genetically engineered indica rice expressing pepc gene cloned from maize. *Plant Science*, 172: 1204-1209.
3. Barozai, M.Y.K., A.G. Kakar and M. Din. 2012. The relationship between codon usage bias and salt resistant genes in *Arabidopsis thaliana* and *Oryza sativa*. *Pure and Applied Biology*, 1: 48-51.
4. Chollet, R., J. Vidal and M.H. O'Leary. 1996. Phosphoenolpyruvate carboxylase: a ubiquitous, highly regulated enzyme in plants. *Annu. Rev. Plant Physiol. Plant Mol. Biol.*, 47: 273-298.
5. Chu, C., Z. Dai, M.S.B. Ku and G.E. Edwards. 1990. Induction of crassulacean acid metabolism in facultative halophyte *Mesembryanthemum crystallinum* by abscisic acid. *Plant Physiol*, 98-3: 1253-1266.
6. DaSilva, J.M. and M.C. Arrabaca. 2004. Photosynthetic enzymes of C₄ grass *Seteria sphacelata* under water stress: a comparison between rapid and slowly imposed water deficit. *Photosynthetica*, 42: 43-47.
7. Doubnerova, V. and H. Ryslava. 2011. What can enzymes of C₄ photosynthesis do for C₃ plants under stress? *Plant Science*, 180: 575-583.
8. Echevarri 'a, C., J. Vidal, J. A. Jiao and R. Chollet. 1990. Reversible light activation of phosphoenolpyruvate carboxylase protein-serine kinase in maize leaves. *FEBS Letter*, 275: 25-28.
9. Echevarri 'a, C., S. Garcı 'a-Maurin, O.R. Alvarez, A. Soler and J. Vidal. 2001. Salt stress increases the Ca²⁺-independent phosphoenolpyruvate carboxylase kinase activity in Sorghum plants. *Planta*, 214: 283-287.
10. Epstein, E. 1972. *Mineral Nutrition of Plants: Principles and Perspectives*. Wiley and Sons, New York.
11. Golovnina, K.A., S.A. Glushkov, A.G. Blinov, L.R. Adkison and N.P. Goncharov. 2007. Molecular phylogeny of the genus *Triticum*. *Plant Systematics and Evolution*, 264: 195-216.
12. Gonzalez, M.C., R. Sanchez and F.J. Cejudo. 2003. Abiotic stresses affecting water balance induce phosphoenolpyruvate carboxylase expression in roots of wheat seedlings. *Planta*, 216: 985-992.
13. Hall, T. 1999. BioEdit computer program, version 7.0.9, Tom Hall, Ibis Biosciences, Carlsbad CA. Available from: <http://www.mbio.ncsu.edu/BioEdit/bioedit.html>
14. Harrison, R.J. and B. Charlesworth. 2011. Biased gene conversion affects patterns of codon usage and amino acid usage in the *Saccharomyces sensu stricto* group of yeasts. *Molecular biology and evolution*, 28: 117-129.
15. Izui, K., H. Matsumura, T. Furumoto and Y. Kai. 2004. Phosphoenolpyruvate carboxylase: a new era of structural biology. *Annu. Rev. Plant Biology*, 55: 69-84
16. Izui, K., M. Taguchi and H. Katsuki. 1980. Regulation of *Escherichia Morikaw coli* phosphoenolpyruvate carboxylase by multiple effectors in vivo. Estimation of the activities in the cells grown on various compounds. *Journal of Biochemistry*, 87(2): 441-449.
17. Kai, Y., M. Yasushi, M. Hiroyoshi and I. Katsura. 2003. "Phosphoenolpyruvate carboxylase: threedimensional structure and molecular mechanisms". *Archives of Biochemistry and Biophysics*, 414 (2): 170-179.
18. Kai, Y., M. Hiroyoshi, T. Inoue, K. Terada, Y. Nagara, T. Yoshinaga, A. Kihara, K. Tsumura and K. Izui. 1999. "Three-dimensional structure of phosphoenolpyruvate carboxylase: A proposed mechanism for allosteric inhibition". *Proceedings of the National Academy of Sciences*, 96(3): 823-828.
19. Leegood Richard, C. 2013. Strategies for engineering C₄ photosynthesis. *Journal of Plant Physiology*, 170: 378-388.
20. Li, B. and R. Chollet. 1994. Salt induction and the partial purification/ characterization of phosphoenolpyruvate carboxylase protein serine kinase from an inducible crassulacean-acid-metabolism (CAM) plant, *Mesembryanthemum crystallinum* L. *Archives of Biochemistry and Biophysics*, 307: 416-419.
21. Manns, R., R.A. James and A. Lauchi. 2006. Approaches to increasing the salt tolerance in wheat and other cereals. *Journal of Experimental Botany*, 57: 1025-1043.
22. Mohseni, A., Gh.A. Nematzadeh, A. Dehestani Kelagari, B. Shahin Kaleybar and E. Soleimani. 2016. Cloning and bioinformatics analysis of MDHAR gene from *Aeluropus Littoralis* and over-expression analysis in *Nicotina Tabacum*. *Journal of Crop Breeding*, 8: 219-230 (In Persian).

23. Morikawa, M., K. Izui, M. Taguchi and H. Katsuki. 1980. Regulation of Escherichia coli phosphoenolpyruvate carboxylase by multiple effectors in vivo. Estimation of the activities in the cells grown on various compounds. *Journal of Biochemistry*, 87(2): 441-449.
24. Naghavi, M.R., M.A. Malboobi and S. Rashidi. 2009. *Bioinformatics*. University of Tehran Press, (In Persian).
25. Nilsen, E.T. and D.M. Orcutt. 1996. *The physiology of plants under stress: abiotic factors*. Wiley, New York.
26. Palidwor, G.A., T.J. Perkins and X. Xia. 2010. A general model of codon bias due to GC mutational bias. *PLoS One*, 5(10): e13431.
27. Paulus, J.K., D. Schlieper and G. Groth. 2013. Greater efficiency of photosynthetic carbonfixation due to single amino-acid substitution. *Nature Communications*, (2): 1518.
28. Pfaffle, M.W. 2004. Quantification strategies in real-time PCR. Chaper 3 pages 87 - 112 in: A-Z of quantitative PCR (Editor: S.A. Bustin) International University Line (IUL) La Jolla, CA, USA publication.
29. Piotr, Ch. and N. Sacchi. 2006. The single-step method of RNA isolation by acid guanidinium thiocyanate–phenol–chloroform extraction: twenty-something years on. *Nature Protocols*, 1: 581-585
30. Poustini, K. and D. A. Baker. 1994. Photosynthetic responses of two wheat cultivars to salinity. *Iranian Journal of Agricultural Science*, 25(1): 61-69 (In Persian).
31. Puigbo, P., I.G. Bravo and S. Garcia-Vallve. 2008. E-CAI: a novel server to estimate an expected value of Codon Adaptation Index (eCAI). *BMC Bioinformatics*, 9:65.
32. Sage, R.F. 2004. The evolution of C4 photosynthesis. *New Phytol.*, 161: 341-70.
33. Shahin Kaleybar, B., Gh.A. Nematzadeh, S.H.R. Hashemi, H. Askari and S. Kabirnatay. 2012. Physiological and Genetic Responses of Halophyte *Aeluropus Littoralis* to Salinity. *Journal of Crop Breeding*, 5: 15-29 (In Persian).
34. Sánchez, R., A. Flores and F.J. Cejudo. 2006. Arabidopsis phosphoenolpyruvate carboxylase genes encode immunologically unrelated polypeptides and are differentially expressed in response to drought and salt stress. *Planta*, 223: 901-909.
35. Sánchez, R. and F.J. Cejudo. 2003. Identification and expression analysis of a gene encoding a bacterial- type phosphoenolpyruvate carboxylase from *Arabidopsis* and rice. *Plant Physiol*, 132: 949-957.
36. Sankhla, N. and W. Huber. 1974. Regulation of balance between C3 and C4 pathway: role of abscisic acid. *Zeitschrift für Pflanzenphysiologie*, 74: 267-271
37. Schaeffer, H.J., N.R. Forsthoefel and J.C. Cushman. 1995. Identification of enhancer and silencer regions involved in salt-responsive expression of crassulacean acid metabolism (CAM) genes in the facultative halophyte *Mesembryanthemum crystallinum*. *Plant Molecular Biology*, 28: 205-218
38. Schroeder, J.I., J.M. Kwak and G.J. Allen. 2001. Guard cell abscisic acid signalling and engineering drought hardiness in plants. *Nature*, 410: 327-330.
39. Tamura, K., J. Dudley, M. Nei and S. Kumar. 2007. MEGA4: Molecular Evolutionary Genetics Analysis (MEGA) software version 4.0. *Molecular Biology and Evolution* 24: 1596-1599.
40. Tcherkez G.G.B., G.D. Farquhar and T.J. Andrews. 2006. Despite slow catalysis and confused substratespecificity, all ribulose biphosphate carboxylases may be nearly perfectly optimized. *Proc. Natl. Acad. Science, USA*, 103: 7246-51.
41. Tian, C., Q. Jiang, F. Wang, G. Wang, Z. Xu and Ai. Xiong. 2015. Selection of Suitable Reference Genes for qPCR Normalization under Abiotic Stresses and Hormone Stimuli in Carrot Leaves. *Plos One*, 10(2): e0117569.
42. Turner, N.C., G.C. Wright and K.H.M. Siddique. 2001. Adaptation of grain legumes (pulses) to water-limited environments. *Advances in agronomy*, 71: 193-231
43. Vidal, J., J.N. Pierre and C. Echevarría. 1996. The regulatory phosphorylation of C4 phosphoenolpyruvate carboxylase: a cardinal event in C4 photosynthesis. In: Verma DPS (ed) *Signal transduction in plant and development*. Springer, Berlin HeidelbergNew York, pp: 141-166.
44. Yanagisawa, S. and J. Sheen. 1998. Involvement of maize Dof zinc finger proteins in tissue-specific and light-regulated gene expression. *Plant Cell*, 10: 75-89.

Isolation and Gene Expression Investigation in Photosynthetic Isoform of Phosphoenolpyruvate Carboxylase Gene in Halophytic Grass *Aeluropus Littoralis* under Salinity Stress

Elham Younesi-Melerdi¹, Ghorban Ali Nematzadeh² and Ehsan Shokri³

1- M.Sc. In Plant Breeding, Sari Agricultural Sciences and Natural Resources University (SANRU), Sari, Iran

2- Profesoore, In Plant Genetics, Genetics and Agricultural Biotechnology Institute of Tabarestan, Sari Agricultural Sciences and Natural Resources University, (SANRU), Sari, Iran

3- PhD. In Nanbiotechnology, Genetics and Agricultural Biotechnology Institute of Tabarestan,

Received: August 14, 2015

Accepted: February 6, 2016

Abstract

C4 plants have very high photosynthetic efficiency under drought stress due to lower water usage and do not require the opening and closing of stomata. This advantage has been created by complementary mechanisms of primary carboxylation in leaves mesophilic cells. In species which are initial carboxylation of mesophilic CO₂ during C4 photosynthesis and crassulacean acid metabolism done, the PEPc enzyme catalyses the irreversible reaction of phosphoenolpyruvate in the presence of bicarbonate ions to produce oxaloacetate. The aim of the present study was to partial isolation of *pepc* coding sequence from halophytic grass *Aeluropus littoralis*, studying codon bias pattern and also quantitative analysis of its expression in 0 (control) and 600 mM NaCl relative to beta actin gene expression as internal control using Real-time PCR. As a result, a 678 bp fragment of *pepc* gene coding sequence was isolated and registered in NCBI gene bank under KP122945 accession number. The isolated fragment showed highest homology (in protein level) with *Eragrostis minor* and *Zoysia japonica* species and its CAI index was estimated 0.82. Finally, the quantitative analysis of gene expression under 600 mM salt stress showed that the level of *pepc* gene transcription was increased about 3 times (compared to control) in response to stress.

Keywords: *Aeluropus littoralis*, Codon bias, Gene expression, Phosphoenolpyruvate carboxylase, Salinity stress